

熊本大学工学部 正員 秋吉 卓
 熊本大学工学部 学生員 中山 移
 熊本大学工学部 学生員 ○藤村 秀樹

1 まえがき 応答スペクトルによる設計の対象となるものは比較的剛な構造物に限られるが、統一的な耐震設計基準が確立されていないことと、震度法の概念の分り易さから通常の構造物の耐震設計に応答スペクトルが用いられることが多いようである。しかしながら Wausner 流の応答スペクトルは、地盤の影響を考慮しない平均スペクトルであるから、その耐震設計への適用は容易ではない。そこでここでは 1 次元半無限の地盤上に 1 自由度系の構造物が載っている系を取り上げ、地盤は履歴復元力を持ち、かつ波動は地下の無限遠に逸散する系の応答スペクトルおよび等価線形化した系の定常 RMS を求めて、従来の結果との比較検討を行なった。

2 解析手順 図-1 のように対象とする系は、水平せん断振動のみを許される離散系として考える。厳密には許されないが、地盤内の上昇波を全ての点で $\ddot{z}(t)$ として表わし、下降波は $u_0, u_1, u_2, \dots, u_n$ 等で表わす。このとき各質点の運動方程式は

$$\left. \begin{aligned} m\ddot{u}_0 + c\dot{u}_0 + k u_0 &= -m\ddot{z} \\ m'\ddot{u}_1 + R_1(u_1) - R_0(u_0) &= -m'\ddot{z} \\ m'\ddot{u}_2 + R_2(u_2) - R_1(u_1) &= -m'\ddot{z} \\ \vdots & \\ m'\ddot{u}_n + R_n(u_n) - R_{n-1}(u_{n-1}) &= -m'\ddot{z} \end{aligned} \right\} \quad (1)$$

ただし、 $\chi_r = u_r - u_m$, ($r=0, 1, 2, \dots, n$), $R_0(\chi_0) = C\dot{\chi}_0 + k\chi_0$ (線形)

なお式(1)のうち、第 1 式の構造物は線形とし、地盤の復元力 $R_1(\chi_1), \dots, R_{n-1}(\chi_{n-1})$ は図-2 のようなバイリニア復元力 ($\chi_{r,y}$: 降伏変位) であるが、 $r \geq n+1$ より下方の質点については線形とすると、下降波 u_s ($r=s$) は次式を満足する。

$$m''\ddot{u}_s + k_{s-1}(u_s - u_{s-1}) + k_s(u_s - u_{s+1}) = 0 \quad (2)$$

あるいは $\ddot{u}_s + P^2(2u_s - u_{s-1} - u_{s+1}) = 0$, $P^2 = k_r/m' = k'/m'$

これを初期条件 $u_s(0) = \dot{u}_s(0) = 0$ のもとに解くと¹⁾

$$u_s(t) = 2(s-n-1) \int_0^t J_{2(s-n-1)}(2P't) u_n(t-t) \frac{dt}{t} \quad (3)$$

$J_\nu(x)$ は第 1 種レ次の Bessel 関数であり、式(3)は無限遠方への逸散波を表わしている。したがって、式(3)より $u_{n+1}(t)$ が $u_n(t)$ の関数として定義されるので、線形復元力 $R_n(u_n) = R_n(u_n - u_{n+1}) = k'(u_n - u_{n+1})$ は u_n のみの関数となる。したがって式(1)は未知数 u_0, \dots, u_n ($n+1$ 個) と方程式の数が一致するので解くことができる。なお地盤の復元力の線形部分は全てばね定数 k' を持つものとし、質点の質量は全て m' としている。また数値計算においては非線形復元力が 1 個の場合 ($n=1$) について、線形加速度法によった。

一方、この非線形が定常状態にあるとしたとき、非線形部分の等価線形化を行ない、2 乗平均応答 $\langle u_0^2 \rangle$ (あるいは RMS : σ_{u_0}) を以下のような手順で求めると。すなはち、応答の位相の変化がゆるやかであって比較的狭帯域の振動を行なっていると仮定すると、図 2 のバイリニア復元力の等価減衰係数 $C_e(x, \omega)$ 、等価ばね定数

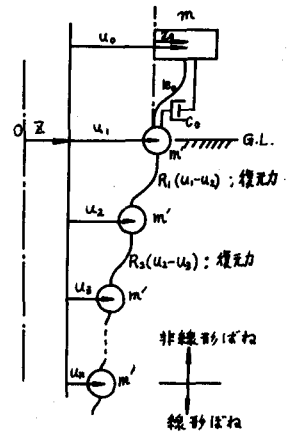


図-1 1 次元水平せん断系

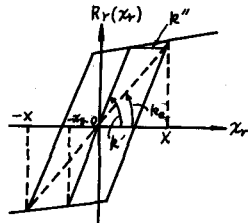


図-2 地盤の復元力

k_e は次のように与えられる²⁾

$$C_e(x, w) = \begin{cases} \frac{2}{\pi} \cdot 2m' p_e \frac{\max(x-x_*)}{x \{ nx + nx_* \} w p_e} ; & x_* < x \text{ かつ } \\ 0 & ; 0 < x < x_* \end{cases} \quad k_e(x) = \begin{cases} k(nx + nx_*); & x_* < x \\ \frac{k'}{x} & ; 0 < x < x_* \end{cases} \quad (4)$$

さらに、この等価系を最小2乗法による確率的平均操作を行なうことにより、次の等価係数をうる³⁾

$$C'_e(w) = \frac{E(\dot{x}_g(x, \dot{x}))}{E(\dot{x}^2)} = \int_{x_*}^{\infty} C_e(w, x) p(x) dx, \quad k'_e = \frac{E(\dot{x}_g(x, \dot{x}))}{E(\dot{x}^2)} = \frac{1}{\partial x^2} \left[\int_{x_*}^{\infty} k'(nx + nx_*) p(x) dx + \int_{x_*}^{\infty} k'(n'x + n'x_*) p(x) dx \right] \quad (5)$$

しかるに狭帯域の過程では x は常規分布と考えられるので³⁾ Rayleigh 分布 $P(x) = \frac{x}{\sigma_x^2} e^{-x^2/2\sigma_x^2}$ を用いると、式(5)は積分が行なわれ、等価減衰係数 $C'_e(w)$ および等価ばね係数 k'_e が得られる。かくして式(1)より

$$m \ddot{u}_0 + C \dot{u}_0 + k u_0 = -m \ddot{x} \quad (1')$$

$$m \ddot{u}_1 + C'_e(w) \dot{u}_1 + k'_e x - C \dot{u}_0 - k u_0 = -m' \ddot{x} \quad (\text{等価線形化}) \quad (1'')$$

$$m \ddot{u}_2 + k'(x_2) - C'_e(w) \dot{u}_1 - k'_e x_1 = -m' \ddot{x} \quad (1''')$$

ここで系の周波数応答関数を求めるため、 $\ddot{x} = Z_0 e^{i\omega t}$, $u_0 = X_0 e^{i\omega t}$, $u_1 = U_1 e^{i\omega t}$, $u_2 = U_2 e^{i\omega t}$ とおくと

$$U_2 = \int_0^t \frac{J_1(2p't)}{2} U_2(t-\tau) d\tau = 2U_2 e^{i\omega t} \int_0^{\infty} \frac{J_1(2p't)}{2} e^{-i\omega t} d\tau = U_2 e^{i\omega t} G(w)$$

$$\text{ただし } G(w) = \begin{cases} \exp(-2i\sin^2(w/2p')) & ; 0 < w < 2p' \\ -4p'^2 / [w + \sqrt{w^2 - 4p'^2}]^2 & ; 2p' < w < \infty \end{cases}$$

このようにして、構造物の周波数応答関数 $H_{uo}(w)$ は次式で与えられる。

$$H_{uo}(w) = \frac{P^2 \{ i(C_e^* + k_e^*)(-w^2 + p'^2 K(w)) + w^2 \{-w^2 + 2i(1+\alpha)hpw + p^2\} \{-w^2 + p'^2(K(w) + iC_e^* + k_e^*)\}}{w^2 \{-w^2 + 2i(1+\alpha)hpw + (1+\alpha)p^2\} \{-w^2 + p'^2(K(w) + iC_e^* + k_e^*)\} - (-w^2 + 2ihpw + p^2)p'^2(iC_e^* + k_e^*)(-w^2 + p'^2 K(w))} \quad (8)$$

$$\text{ただし, } K(w) = 1 - G(w), \quad n = 1 - n', \quad n' = k''/k' \quad (\text{弾塑性勾配}), \quad d = m/m' \quad (9)$$

$$C_e^* = \frac{4}{\pi} \frac{n X_0}{\partial x^2} \int_{x_*}^{\infty} \frac{(x-x_*)}{x} \exp\left(-\frac{x^2}{2\sigma_x^2}\right) dx, \quad k_e^* = \frac{1}{\partial x^4} \int_{x_*}^{\infty} x^3 \exp\left(-\frac{x^2}{2\sigma_x^2}\right) dx + \frac{1}{\partial x^2} \int_{x_*}^{\infty} (nx + nx_*) x^2 \exp\left(-\frac{x^2}{2\sigma_x^2}\right) dx \quad (10)$$

ところで、式(10)の周波数応答関数はパラメータ α (質量比) および離散化地盤固有の特性振動数 P' の値如何による変動の略図を図-3に示している。 $P' \gg 1$ は硬い地盤に相当し、したがって地盤の変形が小さく、従来の平均応答スペクトルの振動系に相当するが、 P' が大きくなりときは低周波数の入力スペクトルの如何により大きな応答 (RMS) を持つことがあることを示している。また $d = m/m' \ll 1$ の場合は、構造物が小規模の場合に相当し、したがって相互作用が小さく、構造物自身の特性が現れてくる。また当然のことながら、2乗平均応答は次式で与えられる。

$$\bar{G}_{uo}^2 = \int_0^{\infty} S_{uo}(f) df = \int_0^{\infty} S_{\ddot{x}}(f) |H_{uo}(f)|^2 df \quad (11)$$

図-4は $\bar{G}_{uo} = \left[\int_0^{\infty} (2\pi f)^4 S_{\ddot{x}}(f) |H_{uo}(f)|^2 df \right]^{\frac{1}{4}}$ の図であるが、 $P' < 10$ (rad/sec) になるとあまり現実的でない傾向になり、かつ $\alpha/P' < 1/3$ 程度になると比較的安定した傾向がうかがえる。

その他の結果は講演時に発表する。
参考文献:
1) A.H.NAYFEH: J. Solids. Structur.-es, 1974, 10, 2)
2) 小高昭夫:耐震構造の総合的研究, 宝文堂
3) Y.K.LIN: Probabilistic Theory of Structural Dynamics, McGraw-Hill, 1967.

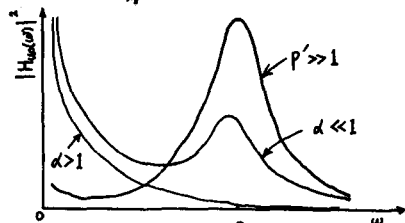


図-3 周波数応答関数 (略図)

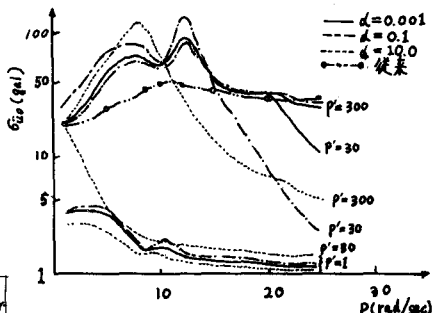


図-4 \bar{G}_{uo} と α , P' との関係